

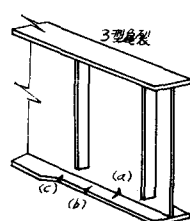
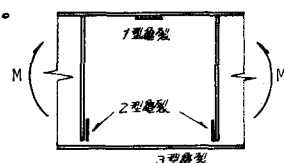
大阪大学工学部 正員 前田 幸雄
川崎製鉄 正員 ○川井 豊
大阪大学大学院 学生員 中西 邦仁

1. まえがき ハイブリッド桁の静的載荷状態の挙動及びその終局強度につい2つ、筆者らが先に報告した¹⁾他、多くの研究がなされ²⁾ 静的强度面からは道路橋構造として使用して実用上支障のないことが確認されている。しかし、ハイブリッド桁における、単一鋼種より成る桁に比べ腹板に高い応力が作用すること、腹板とフランジに異種鋼材間の溶接が含みること等から、疲労强度に関する研究が不可欠である。さらに、フレートガーダーの腹板の薄肉化から、薄肉腹板専用の疲労屈強の発生が報告されており、腹板が高い応力を受ける性質上、この方面からのハイブリッド桁の疲労性状につい2つを明らかにしておく必要がある。即ち、二の種の屈強³⁾とは、初期焼けをもつ腹板が圧縮力を受けて面外変形を生ずることにより、腹板の疲労部（主として圧縮フランジと腹板の腹肉溶接部）に繰り返し二次曲げを受け発生するものである。

今回は、第1報²⁾で報告した腹板細長比(β)が400, 300, の薄肉ハイブリッド桁の疲労試験結果⁴⁾に、その續行にて $\beta=200$ の桁の試験結果を加えて、ハイブリッド桁の疲労强度についての検討を行なったのでここに報告する。
 2. 実験概要 (i) 試験桁：試験桁は、全長8.3m、支間長8.0mの全長試験床6体から成り、各々純曲げを受けた桁中央部のテストパネルとその両側の支持パネルを構成し、支持パネルは試験パネル内に疲労屈強を生ずる迄は、このパネルからも疲労破壊しない様充分な强度を持たせた。6体の桁は、その腹板細長比により、B4系列($\beta=400$)、B3系列($\beta=300$)、B2系列($\beta=200$)の三種類に分けられ、その各々の系列に付けて水平補剛材の脚部のみを変化させ22体ずつ製作した。テストパネルの寸法諸元は表-1に示す通りである。又、使用した鋼材は、静的强度試験¹⁾に含め、圧縮フランジにSM58、313張フランジにHT80、腹板にSS41、補剛材にSM58で同一上下非対称の完全ハイブリッド断面とした。材料試験の結果、降伏点は各々、 59.4 kg/mm^2 , 74.5 kg/mm^2 , 31.6 kg/mm^2 , 38.8 kg/mm^2 であった。(ii) 試験装置と試験方法：使用した試験機は、ローラーへ向けてニ型($45^\circ/30^\circ$)疲労試験機で荷重繰り返し速度は毎分約285回とした。桁は、单純支持と両支点より2.665mの位置に2点載荷し、ジャッキ間のテストパネル上能曲げをえた。又、桁の横振れを防止するため、ジャッキ位置ごローラーにより構造上の変位を拘束した。動的載荷に先立ち、下限荷重を含む適当な荷重段階ごと上限荷重迄静的載荷試験を行なうと共に、所定の繰り返し数毎に、動的載荷止め静的載荷試験を行なって荷重と測定諸量をチェックし試験桁の疲れを観察した。

(iii) 試験結果：動的載荷における作用応力及び疲労試験結果の梗概を表-1に示す。

3. 考察 純曲げを受けるハイブリッド桁の疲労屈強は、その発生箇所及び発生原因から図-1に示す三つの型に分類される。表-1に示した破壊形式から見ると既にハイブリッド桁の疲れ強さを決定するのに2型屈強である。そのため2型屈強について試験結果を整理すれば、腹板の細長比に依存するハイブリッド桁の疲労强度を推定し得る。図-2は、2型屈強発生迄の繰り返し回数と313張フランジ最大応力との関係を示したものであるが、かなりバラツキが大きく明瞭な相関関係が認められない。しかし、313張フランジの応力振巾との関係を示して図-3では、かなり明瞭な相関関係が見らるることから、応力振巾がハイブリッド桁の疲労强度左右する主要なパラメータであることが判る。図-3には、本実験における6体の試験結果から得られたS-N曲線と、本実験結果にTexas大学で行なわれたA36鋼の腹板をもつハイブリッド桁の試験における2型屈強の発生データ⁵⁾を加えてヒステのS-N曲線、図-4。桁の疲労屈強の型



純曲げを受けるハイブリッド

並びに、二の場合は95%信頼レベルのS-N曲線を示した。図-3から、各々の場合の200万回疲労強度は、12.7, 12.9, 10.7 kg/mm²と推定される。

図-4は小型のモデル試験片(横リブ付小型試験片)の疲労強度と引張試験の疲労強度との比較を示すものである。オーバードラフ横リブ付試験片として十字鋼肉の資料を用いたが、モデルとして不適当であるため小型試験結果が引張試験の結果をはるかに下まわった。今回も、より適当な小型試験片としてリブ付十字鋼肉の資料を用いて比較を行なった結果、図-3の如く小型試験と引張試験の値が良く一致した。このことから、ハイブリッド桁の疲労強度は、リブ付十字鋼肉の小型試験結果から推定することができる。

次に、図-5は単一鋼種桁とハイブリッド桁の疲労強度を比較するため、試験片の引張フランジ部であるHT80の単一鋼種桁と本実験結果より得られたS-N曲線を示したものである。

図から、200万回における疲労強度は、HT80単一鋼種桁が20%近くハイブリッド桁の疲労強度を上まわるが、50万回附近では、疲労強度において両者の差が見らぬ程度となる。このことから、ハイブリッド桁は、圧縮フランジの屈屈強度を支配され、引張の強度と同様、疲労強度においても、高強度鋼から成る単一鋼種桁に比べて少しだけはるかに経済的であるといえよう。

試験片	B4-L1	B4-L7	B3-L1	B3-L6	B2-L0	B2-L5
幅及総長比(λ)			1.0			
腹板幅長比(β)		413	310			
腹板(mm)	1280×3.1		960×3.1		640×3.1	
引張フランジ(mm)	151×9.9	150×9.9	151×9.9	150×9.9	150×9.9	150×9.9
引張フランジ(mm)	100×10	100×10	101×10	101×10	100×10	100×10
せん断剛性比	1	7	1	6	0	5
引張フランジ 最大応力	21.7 kg/mm ²	21.9 kg/mm ²	19.9 kg/mm ²	23.8 kg/mm ²	22.0 kg/mm ²	18.8 kg/mm ²
引張フランジ 最大応力	27.1	29.2	25.6	35.3	31.4	29.5
引張フランジ 応力範囲	17.5	17.6	10.3	14.0	11.1	9.5
引張フランジ 応力範囲	21.1	23.1	11.7	21.1	17.6	16.1
疲労強度 発生箇所と 繰り返し 回数	(1) 壁板結合部 $N=34.1 \times 10^4$ (2) 圧縮フランジ $N=25.0 \times 10^4$	(1) 壁板結合部 $N=24.3 \times 10^4$ (2) 壁板結合部 $N=25.0 \times 10^4$	(1) 壁板結合部 $N=218.0 \times 10^4$ (2) 壁板結合部 $N=218.0 \times 10^4$	(1) 壁板結合部 $N=28.0 \times 10^4$ (2) 壁板結合部 $N=28.0 \times 10^4$	(1) 壁板結合部 $N=104.0 \times 10^4$ (2) 壁板結合部 $N=116.6 \times 10^4$	(1) 壁板結合部 $N=20.0 \times 10^4$ (2) 壁板結合部 $N=20.0 \times 10^4$
疲労寿命	67.0×10^4	26.0×10^4	224.0×10^4	33.5×10^4	116.0×10^4	123.5×10^4
破壊形式	Z型亜剝離	Z型亜剝離	Z型亜剝離	Z型亜剝離	Z型亜剝離	Z型亜剝離

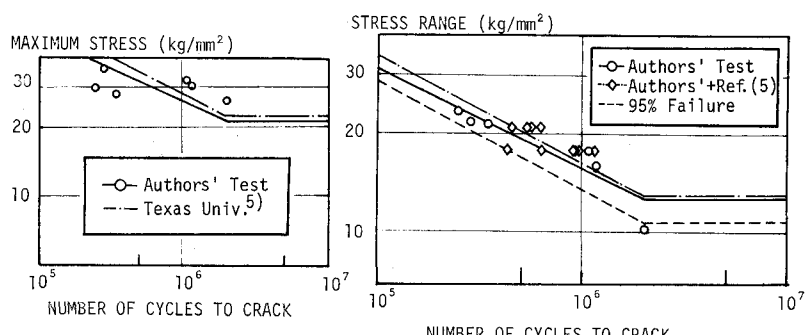


図-2. Z型亜剝離発生までの繰り返し数

図-3. 引張フランジ応力範囲とZ型亜剝離発生までの繰り返し数

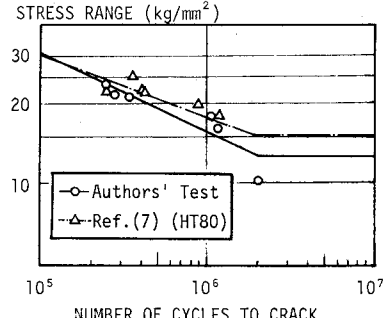
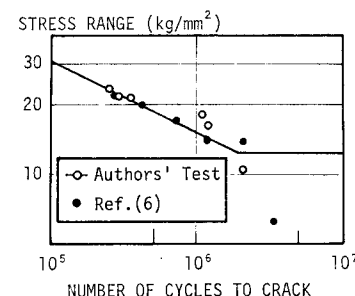


図-4. ハイブリッド桁とリブ付十字鋼肉試験片のS-N線図

薄肉フロート・ガーダー特有の崩壊である 1 型崩壊についでは、第 1 項⁴⁾「腹板細長比及び水平補剛材剛比と腹板の面外二次曲げモーメントとの関係」を述べた。又、これら²⁾の研究で 1 型⁵⁾の発生は腹板の細長比を制限することにより防ぐことが明らかにされ、2 の腹板細長比制限値とし³⁾て 2.

$\beta_c = 9680/\sqrt{b_y}$ (垂直補剛材を有する桁), $\beta_c = 19400/\sqrt{b_y}$ (垂直・水平補剛材を有する桁) があげられて¹³⁾いる。上式中 b_y は、 kg/cm^2 を表わす腹板の降伏応力を表わし、上下非対称桁の制限値は腹板圧縮側の細長比の 2 倍の値を示す。今回の実験桁 6 体中、上式の制限値以上の細長比をもつものは B4 系列の 2 体²⁾であるが、1 型⁵⁾崩壊を生じたのは水平補剛材剛比の小さな B4-L1 桁のみであった。このことから、ハイブリッド桁にみる 2 は、1 型崩壊防止のための腹板細長比の制限値は上式で得られる値が有効であると考えらるゝが、水平補剛材を有する桁についでは、その剛比を何らかの形でパラメーターとして取り入れる必要があると思われる。

4. 結論 本実験における 6 体の試験結果と各種の疲労試験結果とを比較検討した結果、次の様な結論が得られた。

(1) ハイブリッド桁の疲労強度は、2 型⁵⁾崩壊の発生によつて決まり、引張フランジの応力集中⁶⁾を表わす 95% 信頼レベル⁷⁾の疲労強度は $10.7 \text{ kg}/\text{mm}^2$ であった。又、2 型⁵⁾崩壊の発生に関する S-N 曲線は、リブナット接肉溶接の小型試験片結果とよく一致する。

(2) ハイブリッド桁の疲労設計にみる 2 は、2 型⁵⁾崩壊発生迄の繰り返し回数に基づいて最大応力で制限するより、応力集中⁶⁾で制限する方が信頼性が高いと考えらるゝが、資料が充分集まる迄は最大応力と応力集中の両方で制限するのが望ましい。

(3) 実験桁の引張フランジ戻り H780 の单一鋼種から成る桁の疲労強度と比較した結果、200 万回疲労強度では 2 倍近くハイブリッド桁が劣るが、50 万回以下の疲労強度ではほとんど変わりがない。

(4) ハイブリッド桁の疲労強度を決定する 2 型⁵⁾崩壊は、垂直補剛材等腹板の引張側に密接に取付けられたアタッチメントへの応力集中に起因するものであるから、最高にみる 2 は腹板引張側のディテールには充分の配慮が必要である。

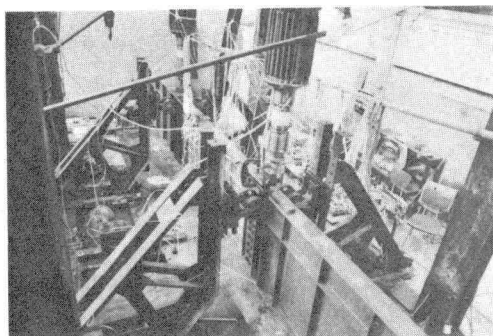


写真-1. 試験装置全景

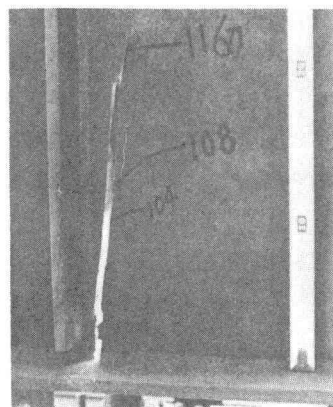


写真-2. 2型崩壊 (B2-L0)

参考文献

- 前田・川井, “水平補剛材消弱上下非対称ハイブリッドフレートガーダーの終局強度”, 第 18 回構造工学研究発表会, 1971.12
- 例えは, H.S. Lew and A.A. Toprac, "The Static Strength of Hybrid Plate Girders", S.F.R.I. Tech Report, p.550-11, Jan., 1968
- 例えは, P.J. Patterson, J.A. Corrado, J.S. Huang and B.T. Yen, "Fatigue and Static Tests of Two Welded Plate Girders", Frizz. Eng. Lab. Rpt. No. 155. Oct., 1970
- 前田・川井・中西矢彌, “薄肉ハイブリッドガーダーの曲げ疲労試験(初報)”, 土木学会関西支部年次講演会, 1973.6
- A.A. Toprac and M. Nararajan, "Fatigue Strength of Hybrid Plate Girders", Proc. of ASCE, Vol. 97, No. ST 4 Apr., 1971
- “溶接鋼の疲労強度”, 稲吉書, 國鉄技研, 1957
- 田島・伊藤・石原・鶴・能越, “ $80 \text{ kg}/\text{mm}^2$ 級高張力鋼の金属性”, 川鉄技報, 第 4 卷第 3 号, 1971